

## О ВЫНУЖДЕННОЙ КОНДЕНСАЦИИ W-БОЗОНОВ ПРИ КОНЕЧНЫХ ТЕМПЕРАТУРАХ

О.К. Калашников, У. Перес Рохас\*

*Найдены параметры заряженного W-конденсата при  $T \neq 0$ . Условие равновесия фаз изучено для обобщенной модели Вайнберга – Салама, сохраняющей лептонный заряд и полную электронейтральность.*

В работе /1/ было показано, что конденсация W-бозонов при температуре  $T = 0$  может генерироваться внешней лептонной плотностью, если одновременно сохранять полную электронейтральность теории. Конденсация W-бозонов является вынужденной и сохраняется при  $T \neq 0$ , но ее фазовый портрет усложняется корреляцией с механизмом спонтанного нарушения симметрии. При  $T \neq 0$  возможны также и другие виды бозе-конденсации как калибровочных /2,3/, так и скалярных полей /4/, которые могут конкурировать с W-конденсацией. Однако выяснение параметров заряженного W-конденсата представляет для ТВО важную и актуальную задачу. Представленное здесь ее решение для модели Вайнберга – Салама практически модельно независимо и позволяет определить параметры заряженного W-конденсата при всех  $T \neq 0$ .

Модель Вайнберга – Салама рассматривается в упрощенном виде. Сохранена только часть лептонного сектора, соответствующая электрослабому взаимодействию электрона с нейтрино и полностью опущен адронный сектор. Все обозначения для лагранжиана общеприняты

$$\begin{aligned} \mathcal{L} = & - (1/4) (G_{\mu\nu})^2 - (1/4) F_{\mu\nu}^2 - \bar{\psi}_L \gamma_\mu \nabla^\mu \psi_L - \bar{e}_R \gamma_\mu (\partial_\mu + ig' B_\mu) e_R - \\ & - |(\nabla_\mu^S \phi)|^2 - \lambda_1 (\bar{\psi}_L \phi e_R + \bar{e}_R \phi^\dagger \psi_L) - V(\phi), \end{aligned} \quad (1)$$

многие детали, относящиеся к его квантованию и реализации механизма Хиггса, можно найти в работе /5/. После спонтанного нарушения симметрии, которое определяется параметром  $\xi$ ,

$$\sqrt{2}\phi = \begin{pmatrix} \sqrt{2}ih^+ \\ \xi + (\sigma - ih_3) \end{pmatrix}, \quad h^\pm = (h_1 \pm ih_2)/\sqrt{2}$$

и обеспечивает минимум древесного эффективного потенциала

$$V(\phi) = (\lambda_2^2/2) (\phi^\dagger \phi)^2 - (a^2/2) (\phi^\dagger \phi),$$

только одно калибровочное поле ( $A_\mu = W_\mu^3 \sin\theta + B_\mu \cos\theta$ ) остается безмассовым; все остальные поля массивны и их пропагаторы легко находятся в явном виде после фиксации калибровки /5/.

Матрица плотности для модели (1) в наиболее общем виде доопределяется тремя химическими потенциалами (двумя "бозонными" и одним "небозонным") и строится стандартным образом /6/. После интегрирования по каноническим импульсам производящий функционал записывается в терминах эффективного лагранжиана /6,7/:

$$Z(\xi, \mu_i | \beta) = N(\beta) \int D\phi_i \delta(G_i) \text{Det M} \exp \left( - \int_0^\beta d^4x \mathcal{L}_{\text{eff}} \right), \quad (2)$$

где  $N(\beta)$  – температурно-зависящая константа;  $\phi_i$  – конденсированное обозначение для всех полей теории;  $G_i = 0$  – калибровочные условия;  $\text{Det M}$  – обычный детерминант фиктивных частиц. Эффективный

\* Институт математики, кибернетики и вычислений АН Кубы, Гавана.

лагранжиан в (2) получается из (1) простыми заменами  $W_4^3 \rightarrow W_4^3 + i\mu_1/g$ ,  $B_4 \rightarrow B_4 + i\mu_2/g'$ ,  $\partial_\rho v_L \rightarrow (\partial_\rho - \mu_2 \delta_{4\rho}) v_L$ ,  $\partial_\rho e_{L,R} \rightarrow (\partial_\rho - \mu_2 \delta_{4\rho}) e_{L,R}$ , что приводит к соответствующему переопределению всех ковариантных производных. Модель (1) доопределена двумя химическими потенциалами:  $\mu_1$  — связанный с электрическим зарядом;  $\mu_2$  — с лептонным зарядом и  $\mu_3 \equiv 0$ . При надлежащем выборе калибровки [5] введение  $\mu_1/g$  в  $G_{\mu\nu}$  переопределяет пропагатор  $W^\pm$ -бозонов, и  $\mu_1$  становится их химическим потенциалом ( $\mu_1 = \mu_W$ ) в обычном смысле. Также можно установить, что  $\mu_2$  и  $\mu_e = \mu_1 + \mu_2$  являются химическими потенциалами нейтрино и электрона соответственно. Вид лагранжиана взаимодействия фиксирует уравнение "химического" равновесия между введенными потенциалами

$$\mu_e + \mu_{\bar{\nu}} = \mu_W, \quad (3)$$

причем химический потенциал частицы отличается знаком от потенциала античастицы.

Вычисление однопетлевого эффективного потенциала предполагает разложение  $L_{\text{eff}}$  около основного состояния  $\phi_0 = (0, \xi/\sqrt{2})$  и явное использование специальных калибровочных условий [5]:

$$(\partial_\nu \pm \mu_1 \delta_{4\nu}) W_\nu^\pm - m_W h^\pm = 0,$$

$$\partial_\mu Z_\mu + m_Z h^3 = 0, \quad \partial_\nu A_\nu = 0.$$

Результат вычислений имеет следующий вид:

$$V = \lambda_2 \xi^4 / 8 - a^2 \xi^2 / 4 + \Omega, \quad (4)$$

где  $\Omega$  удобно параметризовать двумя отдельными суммами

$$\Omega = \sum_{i=1}^n \Omega_i^C + \sum_{j=1}^m \Omega_j^N, \quad (5)$$

учитывающими раздельно вклады от  $n$  заряженных и  $m$  нейтральных полей соответственно. В (5)  $\Omega_i^C$  (где  $i = e, \nu, W^\pm$ ) имеют следующий вид:

$$\Omega_i^C = (\eta_i / 8\pi^3 \beta) \int d^3 p [\ln(1 + \sigma_i \exp[-(\epsilon_i - \mu_i)\beta]) (1 + \sigma_i \exp[-(\epsilon_i + \mu_i)\beta]) + \beta \epsilon_i], \quad (6)$$

где  $\eta_i (= 2, 1, 3)$ ;  $\sigma_i (= 1, 1, -1)$  — численные коэффициенты;  $\epsilon_i (= \sqrt{p^2 + m_i^2})$  — спектры возбуждений заряженных полей ( $m_\nu^2 = 0$ ,  $m_e = \lambda_1 \xi$  и  $m_{W^\pm} = g \xi / 2$ ). Нейтральные поля ( $j = \sigma, A, Z$ ) дают в (5) вклад, аналогичный (6):

$$\Omega_j^N = (a_j / 8\pi^3 \beta) \int d^3 p [\ln(1 - \exp[-\xi_j \beta]) + \beta \epsilon_j],$$

где  $a_j (= 1, 2, 3)$  — численные коэффициенты, учитывающие число степеней свободы соответствующих полей;  $\epsilon_j (= \sqrt{p^2 + m_j^2})$  — их спектры ( $m_\sigma^2 = 3\lambda_2 \xi^2 / 2 - a^2 / 2$ ,  $m_Z^2 = \sqrt{g^2 + g'^2} \xi / 2$ ).

Новые условия экстремума эффективного потенциала (4) находятся его дифференцированием по  $\xi, \mu_1$  и  $\mu_2$

$$\lambda_2 \xi^3 - a^2 \xi + 2\partial \Omega / \partial \xi = C, \quad (7)$$

$$N_e + N_{\bar{\nu}} = Cg/2, \quad N_e + N_\nu = \rho, \quad (8)$$

и должны определять минимум  $V$  при  $0 \ll T \ll T_B$  ( $T_B$  — точка бозе-конденсации). Все  $N_j$  в (8) определены стандартным образом

$$N_j = \eta_j (2\pi)^3 \int d^3 p (n_j^+ - n_j^-),$$

где  $n_j^\pm = [1 + \sigma_j \exp(e_j \mp \mu_j) \beta]$ . Две новые константы С и  $\rho$ , введенные в (7) и (8), определяют фиксированные извне плотности электрического и лептонного заряда. Уравнения (7), (8) должны решаться совместно с условием "химического" равновесия фаз (3). Их численное решение для случая  $C \equiv 0$  представлено на рис. 1. Асимптотики этого графика в двух предельных случаях  $T \rightarrow 0$  и  $T \rightarrow T_c$  исследованы аналитически.

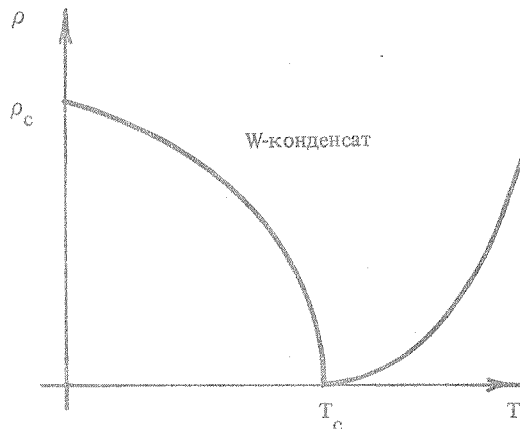


Рис. 1. Фазовый портрет заряженного W-конденсата:  $\rho_c = m_W^3 / 6\pi^2$  – критическая лептонная плотность /1/,  $T_c = a\sqrt{12/a}$  – температура восстановления симметрии.

В пределе  $T = 0$  имеем результат работы /1/. Заряженный W-конденсат генерируется конечной лептонной плотностью (начиная с  $\rho_c = m_W^3 / 6\pi^2$ ) и необходим для компенсации полного электрического заряда электронной подсистемы. При увеличении  $T$  масса W-бозонов уменьшается и возникает тенденция к более "легкой" индуцированной конденсации W-бозонов при меньшей (чем  $\rho_c$ ) плотности лептонов. Эта тенденция оказывается верной и подтверждается как численными, так и аналитическими вычислениями вблизи  $T = 0$  и при  $T \rightarrow T_c$ . В случае низких температур основной вклад при вычислении  $\Omega$  в (6) связан с W-бозонами

$$(2^{3/2}/3) \Delta\Omega_W = - (m_W^{3/2} T^{5/2} / \pi^{3/2}) \exp[-\beta(m_W - \mu_W)], \quad (9)$$

и уравнение (7) упрощается при вычислении производной  $\partial\Omega/\partial\xi$  с помощью (9). Учитывая, что на критической конденсации  $m_W = \mu_W$ , находим  $d\xi/dT = -b^2 g^{5/2} (T/\xi_0)^{1/2}$ , следовательно  $d\rho/dT < 0$ , так как  $\rho \approx g^3 \xi^3 / 48\pi^3$ .

Вблизи  $T_c$  система уравнений (3), (7), (8) также упрощается. Здесь  $\partial\Omega/\partial\xi \approx aT^2/12$ , а уравнения (3), (8) анализируются с помощью высокотемпературной асимптотики  $\mu(T)$ . При  $T \rightarrow T_c$   $m_W = g\xi/2 = N_W/2T^2$  и, приближенно, возникает одно уравнение, позволяющее определить граничное поведение  $\rho(T)$ :  $\rho(T) = k^2 T^2 \sqrt{T_c^2 - T^2}$ , где  $k^2$  – коэффициент, не зависящий от температуры. Критическая температура  $T_c = a\sqrt{12/a}$  совпадает с обычным значением критической температуры восстановления симметрии для модели Вайнберга – Салама (здесь  $a = 3\lambda_2 + 6e^2 \cos^2 \theta / \sin^2 2\theta$ ).

При  $T > T_c$  плотность конденсата можно оценить, сравнивая высокотемпературную асимптотику  $\mu(T) \propto \rho/T^2$  с радиационной массой  $m_W \sim gT$ . Найденная кривая  $\rho \propto T^3$  (рис. 1) определяет высокотемпературную границу W-конденсата, который существует при всех  $\rho > 0$ . При  $\rho < \rho_c$  с понижением температуры конденсат полностью испаряется, но при  $\rho \geq \rho_c$  существует также и в пределе  $T = 0$ .

Авторы благодарны Е.С.Фрадкину и А.Д.Линде за полезные обсуждения.

#### ЛИТЕРАТУРА

1. Linde A. D. Phys. Lett. 86B, 39 (1979).
2. Скалоуз Б. В. ЯФ, 35, 782 (1982); 37, 474, (1983); Bailin D., Love A. Nucl. Phys. B226, 493 (1983); Actor A. Phys. Lett. 157B, 53 (1985).
3. Perez Rojas H. Preprint IMACC № 1, Habana, 1985.
4. Haber H. E., Weldon H. A. Phys. Rev. D25, 502 (1982).
5. Fradkin E. S., Tyutin I. V. Rivista Nuovo Cim., 4, 1 (1974).
6. Фрадкин Е. С. Труды ФИАН, 29, 7 (1965).
7. Kapusta J. I. Phys. Rev., 24D, 426 (1981).

Поступила в редакцию 13 декабря 1985 г.